

بررسی امکان تعیین جهت باد های فرساینده با استفاده از ردیابی طوفانها در تصاویر ماهواره‌ای

محمود عرب خدری و فاضل ایرانمنش^۱

چکیده

بادهای ۱۲۰ روزه دشت سیستان جزء سهمناک ترین بادها در ایران و جهان هستند. به رغم وجود مشکل فرسایش بادی در این دشت، قرار گرفتن آن در پایاب هیرمند و در کنار هامونها، امکان سکونت جمع کثیری از مردم را فراهم آورده است. تمرکز زیاد جمعیت این ناحیه در مقایسه با سایر مناطق تحت سیطره فرسایش بادی ایران، مطالعات عمیقتر و بیشتری را در این مورد ضروری می‌نماید. یکی از اولین اقدامات در برنامه ریزی برای مهار فرسایش بادی، تعیین جهت بادهای فرساینده است. این کار از طریق تحلیل باد در ایستگاههای هواشناسی، مشاهدات صحرایی و استفاده از عکسهای هوایی از گذشته معمول می‌باشد. با پیشرفت‌های بوجود آمده در فناوری سنجش از دور، امکان استفاده از تصاویر ماهواره‌ای نیز در این عرصه فراهم شده است. استفاده از تصاویر ماهواره‌ای با قدرت تفکیک بالا برای تعیین جهت عوارض ماسه‌ای با فنونی مشابه تفسیر عکسهای هوایی امکان‌پذیر می‌باشد. لیکن یکی از مزایای ماهواره MODIS که کمتر مورد توجه قرار گرفته است؛ تعدد تصاویر و امکان استفاده از آن برای ردیابی مسیر طوفانها است. در این پژوهش مسیر طوفانها با استفاده از ۴ تصویر MODIS مربوط به خرداد تا مرداد سال ۱۳۸۰ شمسی تعیین گردید و با جهت بادهای فرساینده بدست آمده از مشاهدات صحرایی در ۱۷ نقطه و تحلیل بادهای ایستگاه سینوپتیک زابل مورد مقایسه قرار گرفت. نتایج حاکی از آن است که بطور کلی همانگی خوبی بین جهت طوفانها در تصاویر ماهواره‌ای و مقادیر مشاهده‌ای وجود دارد. با این همه، انحرافی بین ۱۰ تا ۳۱ درجه با واقعیت سطح زمین در نقاط بسیار نزدیک به روستاهای و مزارع دیده شد که نشان دهنده تاثیر وجود ساختمانها، بادشکنها و سایر موانع بر انحراف جهت عمومی بادها است. تفاوت ۵ تا ۲۳ درجه‌ای جهت باد روی تصاویر ماهواره‌ای بیانگر وجود تغییرات مختصر جهت وزش رویدادهای مختلف است که استفاده از چند تصویر را ضروری می‌نماید.

واژه‌های کلیدی: جهت باد، آمار باد، مشاهدات صحرایی، ردیابی طوفانها، تصاویر ماهواره‌ای MODIS

تاریخ پذیرش: ۸۴/۲/۱۷

تاریخ دریافت: ۸۳/۱۱/۲۵

۱. اعضای هیأت علمی مرکز تحقیقات حفاظت خاک و آبخیزداری - تهران، صندوق پستی ۱۱۳۶ - ۱۳۴۴۵، پست الکترونیک: arabkhedri@scwmri.ac.ir

مقدمه

فرسایش بادی یکی از مشکلات اصلی دشت سیستان است. برای وقوع فرسایش بادی دو شرط اصلی لازم است: شرط اول خشک بودن سطح خاک و شرط دوم وجود بادهای شدید و مداوم است. هر دو شرط فوق در منطقه سیستان مهیا است. زیرا دریاچه و دشت وسیع اطراف آن بدون وجود عوارض قابل توجه، منطقه مستعدی برای وقوع باد می‌باشد. همچنین بارندگی کم و وجود فصل خشک طولانی امکان برداشت مواد خشک و ناپیوسته را بوجود می‌آورد. به رغم وجود مشکل فرسایش بادی در منطقه، قرار گرفتن آن در پایاب هیرمند و در کنار هامونها، امکان گسترش کشاورزی، دامداری، صیادی و حصیر بافی و سکونت جمع کثیری از مردم را فراهم آورده است. تمرکز زیاد جمعیت در این ناحیه در مقایسه با سایر مناطق تحت سلطه فرسایش بادی ایران، مطالعات عمیقتر و بیشتری را ضروری می‌نماید. اهمیت مقابله با زیانهای فرسایش بادی در سیستان به حدی است که در کتاب تاریخ سیستان مربوط به قرن پنجم هجری آمده است (خلد برین، ۱۳۶۸): شرایط آبادانی سیستان بر سه بند بستن نهاده اند: بستن بند آب، بستن بند ریگ و بستن بند مفسدان. به عبارت دیگر فرسایش بادی هم پایه با امنیت دانسته شده است.

raphi (۱۳۷۸) باد شمال غربی یا باد ۱۲۰ روزه را سهمناک ترین باد ایران ذکر می‌کند که سرعت وزش آن به ۱۲۰ کیلومتر در ساعت می‌رسد. این باد سبب فرسایش شدید و حرکت ماسه‌های روان می‌شود. در اثر این باد تبخیر در همه جا به شدت صورت گرفته و در ضمن مقدار شوری خاک به‌طور نسبی بالا می‌رود.

یکی از اولین اقدامات در برنامه ریزی برای کنترل فرسایش بادی، بررسی سرعت و جهت بادهای فرساینده است. تحلیل سرعت و جهت بادها در ایستگاههای هواشناسی با استفاده از گلباد روشنی است که معمولاً مورد استفاده قرار می‌گیرد. گلباد سهم بادهای آرام و جهت بادهای بیشتر از یک متر بر ثانیه را به تفکیک طبقات سرعت در هر یک

از جهات مشخص می‌کند. به رغم مفید بودن گلبد، تحلیل فرسایندگی باد مفید تر می‌باشد. اندازه گیریهای انجام شده در تونل باد و در شرایط طبیعی نشان داده است که میزان حرکت خاک با مکعب سرعت باد تناسب دارد. در این ارتباط تمام بادهای تندتر از ۵ متر بر ثانیه، فرساینده تلقی می‌شوند؛ زیرا بادهایی با سرعت کمتر نقش فعالی در فرسایش خاک ندارند (Wilson و Cooke، ۱۹۸۰). تعیین جهت بادهای فرساینده فقط در محل ایستگاههای هواشناسی که دارای بادسنجد یا بادنگار هستند امکانپذیر است. برای تعیین جهت این گونه باد‌ها در سایر نقاط از روشهای دیگری استفاده می‌شود. یکی از روشهای معمول بازدید صحرایی و استفاده از جهت عوارض ناشی از فرسایش بادی مثل تپه‌های ماسه ای است. به این منظور پیمایش صحرایی کامل در عرصه مطالعاتی ضرورت دارد. در این ارتباط باید محقق به خوبی بتواند براساس شکل عوارض جهت باد را تعیین کند. مجموعه نسبتاً کاملی از رابطه جهت باد و شکل عوارض بادی مختلف نظری ریپل مارک، بارخان، تپه‌های طولی و عرضی و پارabolیک در منابع مختلف نظری احمدی (۱۳۷۷) و رفاهی (۱۳۷۸) آمده است. مزیت این روش آن است که جهت وزش طوفانهای ماسه‌ای (Sand storms) که در واقع بیانگر جهت بادهای فرساینده هستند؛ تعیین می‌شود.

برخی از عوارض بادی، نظری تپه‌های طولی و عرضی و بارخانهای بزرگ به راحتی از طریق تفسیر چشمی روی عکس‌های هوایی قابل شناسایی هستند. در صورت تشخیص صحیح اینگونه عوارض، می‌توان جهت بادهای فرساینده را تعیین کرد. عیب این روش نسبت به بازدیدهای صحرایی، عدم امکان مشاهده عوارضی نظری تلماسه‌های کوچک پای بوته‌ها، و مزیت آن سرعت و سهولت نسبی است. برای تکمیل اطلاعات استفاده از تجربه اهالی منطقه نیز ضرورت می‌یابد. زیرا افراد محلی که سالیان طولانی در یک ناحیه سکونت داشته‌اند به خوبی از بادهای فرساینده و جهت آنها اطلاع دارند که به طور طبیعی موجب صرف هزینه و وقت بیشتری می‌شود. امکان

استفاده از تصاویر ماهواره‌ای برای تعیین جهت نهشته‌های ماسه بادی توسط اختصاصی و همکاران (۱۳۷۵) به جای عکس‌های هوایی پیشنهاد شده است.

با پیشرفت فناوری سنجش از دور و کاربرد تصاویر ماهواره‌ای در تشخیص و شناسایی پدیده‌های فرسایش بادی، تحقیقات زیادی در این زمینه انجام شده است. از جمله در تشخیص عوارض بادی اشتربی مهرجردی و همکاران (۱۳۸۰) و در تعیین مناطق افزایش و کاهش رسوبهای بادی پاک پرور و همکاران (۱۳۸۳) با استفاده از پردازش اطلاعات رقومی تصاویر ماهواره‌ای تحقیقات موفقیت آمیزی انجام داده اند.

اطلاعات ماهواره‌ای علاوه بر بودجه آوردن امکان بررسی سطح مناطق بیابانی، در بررسی طوفانها نیز قابل استفاده است. کنوانسیون بیابان زدایی سازمان ملل متحد، UNCCD (۲۰۰۱) به نقل از Wang و همکاران شناسایی طوفانهای سیاه در شمال غرب چین از طریق بررسی اثر اندازه ذرات را بر روی میزان پخش آتمسفری در طول موجه‌ای مختلف تشریح کرده است. ذرات معلق طوفانها در ارتفاع بالاباعث پخش طول موج زرد شده و به همین دلیل قسمت فوقانی طوفانها زرد رنگ دیده می‌شوند. در مقابل، ذراتی که درشت تر و در ارتفاع پایین تر هستند، می‌توانند طول موج قرمز را پخش کنند. بنابراین، این قسمت به رنگ قرمز دیده می‌شود. طبقات پایین طوفانها نیز به دلیل انکسار در کلیه طول موجها همیشه تیره می‌باشند. تحقیق دیگری توسط Xinjiang و همکاران (۱۹۹۸) در خصوص طوفان شن و گرد و غبار در شمال غرب چین به تاریخ پنجم ماه می ۱۹۹۳، نشان دادند که تصاویر NOAA، قابلیت خوبی برای ردیابی طوفانها دارند و میزان بازتاب از قسمت فوقانی طوفانها تفاوت‌های آشکاری با میزان بازتاب از سطح زمین دارد. Wenjie و همکاران (۱۹۹۹) با بررسی بازتابها در تصاویر NOAA و برخی خصوصیات آنها میزان گرد و غبار منطقه Jinchang را ۹۰ تا ۲۰ تن در کیلومتر مربع محاسبه کردند.

با توجه به امکان مشاهده مستقیم مسیر طوفانهای گرد و خاک در تصاویر ماهواره ای MODIS، در این تحقیق سعی شده است بر اساس اطلاعات بدست آمده از تحلیل باد در ایستگاه هواشناسی زابل و بازدید های صحرایی در منطقه سیستان، امکان جایگزینی تفسیر این تصاویر در تعیین جهت بادهای فرساینده مشخص شود.

مواد و روشها

منطقه مورد مطالعه: این تحقیق در دشت سیستان واقع در استان سیستان و بلوچستان انجام گرفت. این منطقه از شمال به دریاچه های هامون پوزک و سابوری، از شرق و جنوب شرقی به کشور افغانستان و از جهات دیگر به استانهای خراسان و بخشهای دیگر استان سیستان و بلوچستان متصل است. شهر زابل مهمترین مرکز جمعیتی در این منطقه است و اراضی گسترده کشاورزی و تاسیسات متعدد تأمین آب و انهار آبیاری در حوالی آن وجود دارد. در سیستان ۴ توده مهم از نهشته های ماسه بادی مشتمل بر نیاتک در شرق، جزینک در مناطق مرکزی و تاسوکی و ریگچاه در جنوب غربی وجود دارد. در سایر مناطق نیز تلماسه پای گیاهان و عوارض دیگر مربوط به فرسایش بادی نظیر ریپل مارک و کلوتک وجود دارد.

آمار موجود و روش تحلیل آن: در این مطالعه آمار باد ایستگاه سینوپتیک زابل به شرح زیر در دسترس قرار گرفت:

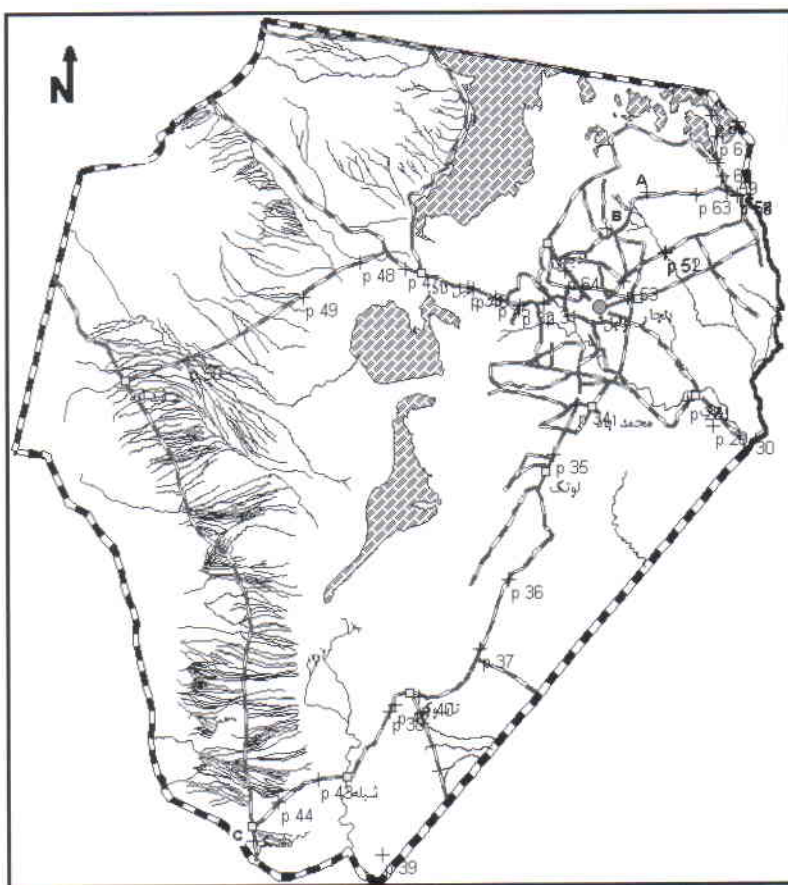
- فرائت سرعت و جهت لحظه‌ای باد در روز (ساعتهای ۰، ۳، ۶، ۹، ۱۲، ۱۵، ۱۸، ۲۱ به وقت گرینویچ) از سال ۱۹۷۱ تا ۱۹۹۰ در مجموع معادل ۶۱۳۶۲ قرائت
- آمار تعداد باد در گروههای مختلف سرعت باد به تفکیک ماه از سال ۱۹۹۱ تا ۱۹۹۸

علاوه بر تعیین فراوانی بادهای فرساینده در جهات ۸ گانه و ۱۶ گانه، فرساینده‌گی باد در هر یک از قطاع‌ها (r_j) نیز از رابطه زیر محاسبه شد (Cooke و Wilson):

$$r_j = \sum_{i=1}^n \bar{U}_{ij}^3 f_i$$

در این رابطه \bar{U}_{ij}^3 مکعب میانگین سرعت باد در گروه (i) برای بادهای با سرعت بیش از ۵ متر بر ثانیه و f_i ضریب زمان وزش و یا در صد بادهایی که در قطاع (j) با سرعت گروه (i) وزیده اند. زیرنویس (j) میان جهت یا قطاع بوده و ارقام دیگر معرف تا ۷ بیانگر ۸ قطاع جغرافیایی هستند. صفر میان جهت شرق بوده و ارقام دیگر معرف سایر جهات در جهت حرکت عقرهای ساعت می‌باشند. توضیح آنکه مثلا در تحلیل ۸ جهتی، قطاع شرق معرف بادهایی است که با زاویه ۲۴۷,۵ تا ۲۹۲,۵ درجه می‌وزند. در نهایت به طریق برداری جهت متوسط بادهای فرساینده تعیین گردید.

تعیین جهت طوفان‌های ماسه‌ای با استفاده از بازدیدهای صحرایی: به این منظور با استفاده از GPS طی بازدیدهای صحرایی از عوارض ماسه‌ای، علاوه بر تعیین مختصات، بر اساس شکل قرار گیری بارخانها، تلماسه‌های پای بوته‌ها، جهت ریپل مارکهای تشکیل شده روی پهنه‌های ماسه‌ای و در یک مورد شکل کلوتک مطابق معیارهای موجود (احمدی، ۱۳۷۷) و (رفاهی، ۱۳۷۸)، جهت وزش طوفانهای ماسه‌ای (Sand storms) که در واقع معادل با جهت بادهای فرساینده هستند؛ تعیین شد. در شکل شماره (۱) موقعیت این نقاط ملاحظه می‌شود. در جدول شماره (۱) نیز مختصات نقاط بازدید شده و نوع عوارض بادی گردآوری شده اند.



شکل شماره (۱) موقعیت و شماره GPS نقاط در منطقه مورد مطالعه

جدول شماره (۱) مشخصات نقاط بازدید صحراوی

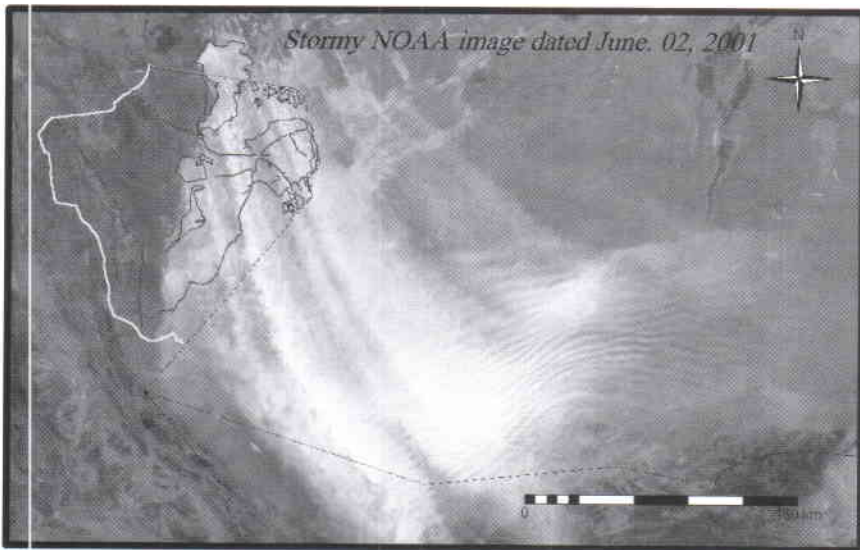
شماره GPS	نوع عارضه های بادی	نام و موقعیت محل
27	بارخان و ریپل مارک	پس از زهک به سمت قلعه نو، نزدیک مزارع
33	تلماسه پای بوته	شمال جاده زابل به نهیندان نرسیده به میل نادر
38	تلماسه پای بوته	جاده زابل به سه راهی دشتک، بعد از شهر سوخته نرسیده به پاسگاه تاسوکی
42	بارخان	جاده زابل به سه راهی دشتک، بعد از پاسگاه تاسوکی، نرسیده به شیله
43	بارخان	جاده زابل به سه راهی دشتک، بعد از شیله
48	تلماسه های بسیار کوچک پای بوته	جاده شوسه، مسیر سفیدابه
49	تلماسه های بسیار کوچک پای بوته	جاده شوسه، مسیر سفیدابه
51	تپه های کوچک تا بزرگ ثبت شده توسط پوشش گیاهی	جاده زابل به دوست محمدخان، شمال شنزار نیاتک
55	عارض ماسه‌ای کوچک، پشت کلوخه ها در زمین شخم خورده	جاده زابل به سمت روستای قرقی، مجاور یک روستا
61	تلماسه طولی ایجاد شده در پناه ردیف درختان	بین ده قرقی و تخت عدالت
62	بادبردگی در کف هامون	بستر هامون پوزک
63	تلماسه پای گر منفرد	جاده ده قرقی به ده ادیمی
A	تلماسه طولی پای گر منفرد	جاده ده قرقی به ده ادیمی
B	تلماسه پای گیاه بوته ای	جاده ده قرقی به ده ادیمی
64	تلماسه پای بادشکن	ده ادیمی، زمین هنرستان مجاور گورستان ده
C	تلماسه های بسیار کوچک پای بوته	جاده زابل به زاهدان بعد از سه راهی دشتک
-	جهت بادهای فرساینده	ایستگاه هواشناسی
40	کلوتک	جاده زابل به سه راهی دشتک، نزدیک پاسگاه تاسوکی

تعیین جهت طوفان با استفاده از تصاویر ماهواره‌ای: چهار تصویر ماهواره‌ای MODIS^۲ مربوط به زمانهای طوفانهای منطقه سیستان از سال ۲۰۰۱ میلادی (۱۳۸۰ شمسی) به شرح جدول شماره (۲) در اختیار قرار گرفت که نمونه‌ای از این تصاویر در شکل شماره (۲) مشاهده می‌شود. برای تعیین جهت باد روی این تصاویر، ایتدا مختصات نقاط بازدید صحرایی به روی آنها منتقل شد. بعد با توجه به بارز بودن طوفان و اختلاف در جهت باد در مناطق مختلف به طریق تفسیر بصری و با استفاده از امکانات نرم افزاری جهت باد‌ها در محل نقاط بازدید و همچنین شهر زابل تعیین شد.

جدول شماره (۲) تاریخ تصاویر ماهواره‌ای MODIS مورد استفاده

ردیف	تاریخ میلادی	تاریخ شمسی
۱	Jun-02	۱۲ خرداد
۲	Jun-11	۲۱ خرداد
۳	Jul-04	۱۳ تیر
۴	Aug-02	۱۱ مرداد

^۲ Moderate Resolution Imaging spectroradiometer



شکل شماره (۲) یک نمونه از تصاویر ماهواره‌ای مورد استفاده

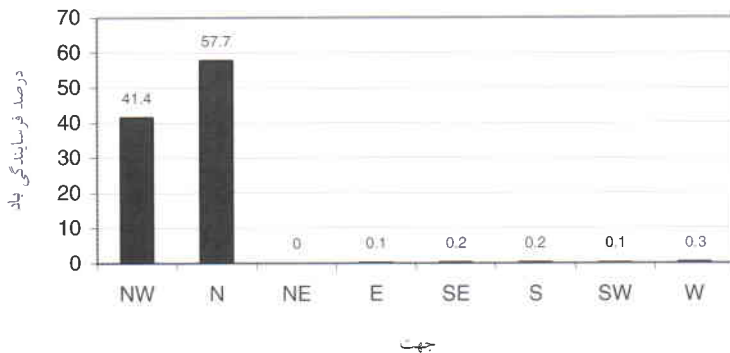
روش تحلیل نتایج: به این منظور ابتدا خطای نسبی زاویه جهت باد تعیین شده از روی هر یک از تصاویر ماهواره‌ای نسبت به زاویه بدست آمده از بررسی صحرایی و همچنین جهت بادهای فرساینده در ایستگاه زابل بدست آمد و بعد میانگین خطاهای محاسبه شد. علاوه بر آن دامنه تغییرات زوایای تعیین شده از چهار تصویر با یکدیگر نیز تعیین گردید. در انتها بر اساس میزان خطا و دامنه تغییرات، مناسب بودن جهت یابی بادهای فرساینده با استفاده از تصاویر ماهواره‌ای مورد تفسیر قرار گرفت.

نتایج

در تحلیل ۸ جهتی، حدود ۵۱ درصد تمام بادهای دوره ۱۹۷۱ تا ۱۹۹۸ با سرعت بیش از ۵ متر در ثانیه در گروه فرساینده طبقه بندی شدند. از مجموع این نوع بادها دو قطاع N (با جهت متوسط ۳۶۰ درجه) و NW (با جهت متوسط ۳۱۵ درجه) به

ترتیب با بیش از ۵۱ و ۴۶ درصد، تقریباً تمام بادهای فرساینده را به خود اختصاص دادند و سایر جهات کمتر از ۳ درصد را شامل شدند. در تحلیل ۱۶ جهتی، ۴۶ درصد تمام بادهای دوره ۱۹۷۱ تا ۱۹۹۰ در گروه فرساینده طبقه بندی شدند. بررسی توزیع در صد وزش این نوع بادها در جهات مختلف نیز حاکی از آن است که بالغ بر ۵۹ درصد از کل بادها با سرعت فرساینده از قطاع NNW (با جهت متوسط $337/5$ درجه) وزیده و دو قطاع N و NW با بیش از ۲۳ و ۱۴ درصد در درجات بعد قرار گرفته اند. از سایر جهات ۱۳ گانه نیز کمتر از ۴ درصد از بادها دارای سرعت فرساینده هستند. به این ترتیب می‌توان نتیجه گیری کرد که جهت اصلی بادهای فرساینده مربوط به قطاع NNW و بعد N در مرحله بعد NW است. به عبارت دیگر جهت میانگین بادهای فرساینده تقریباً 340 درجه می‌باشد.

در شکل شماره (۳) توزیع درصد فرساینده باشد به تفکیک جهات ۸ گانه آورده شده است. این شکل فقط بر اساس آمار ۱۹۷۱ تا ۱۹۹۰ محاسبه و ترسیم شده است. زیرا آمار ۱۹۹۱ تا ۱۹۹۸ در دسترس، فاقد اطلاعات لازم برای محاسبه فرساینده باشد تفکیک جهات بود. ملاحظه می‌شود که بیشترین فرساینده مربوط به قطاع N و در مرحله بعد قطاع NW است که به ترتیب در حدود ۵۸ و ۴۱ درصد را به خود اختصاص داده اند و ۶ جهت دیگر در مجموع کمتر از یک درصد فرساینده را به عهده دارند. از طریق محاسبه برداری متوسط جهت بادهای فرساینده 341 درجه تعیین شد. این جهت دقیقتر از جهت بدست آمده از تحلیل فراوانی بادهای فرساینده می‌باشد.



شکل شماره (۳) توزیع درصد فرساینده‌گی باد به تفکیک جهات ۸ گانه در ایستگاه زابل

در ستون دوم جدول (۳) نتایج مشاهدات صحرایی تعیین جهت بادهای فرساینده برای نقاط مختلف منطقه سیستان آورده شده است. گاهی جهت وزش باد در چند عارضه موجود در یک محل بازدید، تفاوت‌هایی تا ۲۰ درجه را با هم نشان می‌دادند. بنابراین در مناطقی که احساس می‌شد اینگونه تفاوت‌ها وجود داشته باشد، حداقل دو اندازه گیری انجام و رقم میانگین آنها به عنوان جهت باد تعیین شد. بررسی جهات باد بدست آمده از بازدیدهای صحرایی حاکی از آن است که در مرکز و غرب دریاچه هامون و همچنین در مناطق تاسوکی و ریگچاه و سه راهی دشتک (در مجموع ۶ نقطه) جهت باد بین ۳۴۶ تا ۳۵۳ درجه می‌باشد. در اطراف هامون پوزک و شمال نیاتک و قلعه نو جهت وزش طوفانهای ماسه‌ای بین ۳۱۶ تا ۳۳۶ درجه اندازه گیری شده است. نقطه ۶۴ واقع در نزدیکی روستای ادیمی که در بین این دو ناحیه واقع شده است؛ با جهت وزش باد ۳۶۰ درجه، این نظم را به هم زده است.

بررسی تصاویر ماهواره‌ای نشان داد که پوشش طوفان در تصاویر مربوط به زمانهای مختلف یکسان نیست. عمدۀ تفاوت‌ها به میزان گسترش آن در قسمتهای جنوبی یعنی

کشورهای افغانستان و پاکستان مربوط می‌باشد. در تمام تصاویر بررسی شده طوفان در قسمت شمالی همانند یک مثلث یا مخروط است و در قسمت جنوبی به دلیل برخورد به ارتفاعات دچار انحراف به سمت غرب شده است. راس این مثلث در شمال و قاعده آن در جنوب قرار دارد. تناوب دالانهای بسیار غلیظ و با غلظت کم با امتداد عمومی شمال به جنوب در قسمت مثلثی (از جمله در سیستان) و شرقی به غربی در قسمت منحرف شده امکان تعیین جهت باد را فراهم می‌کند. اندازه گیریهای انجام شده بر روی مسیر طوفانهای مربوط به منطقه سیستان در ۴ تصویر بررسی شده نیز در جدول شماره (۳) آورده شده است. مقایسه تغییرات جهات بدست آمده از تصاویر ماهواره‌ای در نقاط برداشت‌های صحرایی نیز مشابهت‌هایی با تغییرات منطقه‌ای بدست آمده از مشاهدات مستقیم نشان می‌دهد. به این ترتیب که در قسمتهای غربی، باد تمایل به جهت N و در قسمتهای شرقی تمایل بیشتری به NW دارد. همان‌طور که ملاحظه می‌شود در سه نقطه ۴۸، ۴۹ و C واقع در غرب و متنهای ایه جنوب غربی منطقه سیستان به دلیل عدم پوشش طوفان، امکان اندازه گیری جهت باد از تصاویر ماهواره‌ای فراهم نشده است. البته در مشاهدات صحرایی این نقاط، فقط تلماسه‌های بسیار کوتاهی در پای بوته‌ها و موانع دیگر دیده شد که بیانگر اهمیت کم فرسایش بادی است.

جهت طوفانهای گرد و خاک در نقاط مورد بررسی از حداقل ۳۱۵ تا حداً کثر ۳۵۸ درجه تعیین و جهت متوسط طوفانهای ۴ تصویر نیز بین ۳۳۰/۵ تا ۳۵۵ محاسبه شد. ضریب تعیین (R²) رابطه بین جهت باد از مشاهدات صحرایی با متوسط جهت باد از تصاویر ماهواره‌ای ۷۵ درصد بدست آمد که نشان دهنده مناسب بودن تصاویر ماهواره‌ای برای تعیین جهت باد می‌باشد.

دامنه تغییرات جهت در ۴ تصویر ماهواره‌ای و زاویه انحراف آنها نسبت به مشاهده صحرایی در جدول شماره (۳) ارائه شده است. زاویه انحراف از ۱۹- تا ۳۱ درجه و

